

طراحی چند هدفی مسیر نشست اضطراری یک هواپیما

بر اساس پایه های حرکتی

اسدی، داود^{۱*}، سبزه پرور، مهدی^۲، نگهبان برون، علی^۳

-۱- دانشکده مهندسی مکانیک - هواپیما، دانشگاه آزاد اسلامی، واحد علوم و تحقیقات

-۲- دانشکده مهندسی هواپیما - دانشگاه صنعتی امیرکبیر

-۳- دانشکده مهندسی هواپیما - دانشگاه علوم و فنون هوایی شهید ستاری

(دریافت مقاله: ۱۳۹۴/۰۵/۰۵ تاریخ پذیرش: ۱۳۹۵/۰۸/۱۰)

چکیده

این مقاله یک روش کارآمد برای تعیین وزن های توابع هزینه در مسئله بهینه سازی چند هدفی مسیر هواپیما با بال چپ آسیب دیده در حضور موانع ارائه می کند. برای طراحی مسیر بر اساس روش ارائه شده توابع هزینه مختلف شامل دوری از موانع، اندازه ارزش اینمنی و الزامات نشست اینمن مانند موقعیت و جهت باند، سرعت و زاویه گلاید تعریف می شود. برای طراحی مسیر از استراتژی میدان پتانسیل برای تولید مسیر نشست استفاده می شود. الگوریتم طراحی مسیر از پایه های حرکتی هواپیما آسیب دیده شامل شرایط تریم و مانور بین شرایط تریم برای طراحی مسیر استفاده می کند. در بهینه سازی چند هدفی (چندین تابع هزینه)، توابع هزینه معمولاً در مقابل و یا تضاد با یکدیگر هستند که مانع بهینه سازی همزمان از دیدگاه تمامی توابع هزینه می شود. با توجه به تعریف توابع هزینه مختلف برای طراحی مسیر در این مقاله، وزن های بهینه بر اساس آنالیز پرتو و مقایسه دو به دو توابع هزینه نرمالیزه شده استخراج می شود و تابع هزینه کل بر اساس روش جمع و وزن دار تعریف می شود. نتایج شبیه سازی موثر بودن روش پیشنهادی برای انتخاب وزن های توابع هزینه در تولید مسیر نشست این را نشان می دهد.

واژه های کلیدی: چند هدفی، طراحی مسیر، نشست اضطراری، پایه های حرکتی

Multi-Objective Emergency Landing Trajectory Design Based on Motion Primitives

Abstract

This paper presents an efficient approach to determine cost criteria weights in multi-objective optimization (MOO) problem of a left wing damaged airplane trajectory generation in proximity to local terrain. Different cost criteria including terrain avoidance, Safety Value Index (SVI), and safe landing requirements such as touchdown heading and position, airspeed, and glide slope are defined. A potential field strategy is utilized to rapidly generate emergency landing trajectories based on a library of the damaged airplane motion primitives including trim states and transition maneuvers between the trim conditions. For multiple-objective problems, the objectives are generally conflicting, preventing simultaneous optimization of each objective. Considering multiple objectives in trajectory planning in this paper, the optimum weights of each cost function is derived using Pareto analysis and pairwise comparison of normalized costs and the total cost is defined based on weighted sum method. Simulation results demonstrate the effectiveness of weight selection based on the proposed method to autonomously plan safe landing trajectories.

Keywords: Multi-Objective, Trajectory Planning, Emergency Landing, Motion Primitives

مقدمه

مسیر ممکن و ایمن جهت نشست طراحی می‌شود به گونه‌ای که محدودیت‌های کنترلی را برآورده کرده و با مانع برخورد نکند. در نهایت کنترل مسیر طراحی شده مطلوب را جهت رسیدن به محل نشست تعقیب می‌کند.

سیستم خودکار ارائه شده در شکل ۱ قادر است هواپیما را در محدوده پاکت جدید پروازی به محل نشست ایمن برساند. در این استراتژی، پاکت پروازی مانوری هواپیما با فرض داشتن اطلاعات بهنگام از زیرسیستم شناسایی تخمین‌زده می‌شود. علاوه بر این زیر سیستم کشف سلامت سازه کلیه اطلاعات مربوط به بررسی سلامت سازه را بارگذاری می‌کند و کلیه ایرادات کشف شده از سازه و سیستم‌های هواپیما، مسیر طرح ریزی شده، هشدارها، پیام‌های ایستگاه زمینی و پارامترهای مهم پروازی از طریق اینترفیس در داخل کابین به اطلاع خلبان می‌رسد [3].

سازمان ملی هوانوردی و فضایی آمریکا (NASA) در برنامه هوانوردی ایمن خود برخی روش‌های طراحی مسیر با هدف بازیابی هواپیما در شرایط نقص و آسیب را مورد مطالعه قرار داده است [4]. تست‌های تونل باد برای انواع مختلف آسیب توسط سازمان NASA بر روی هواپیمای مدل GTM که مقیاس ۵/۵ درصد از هواپیمای بوئینگ 757 است و مورد بررسی در این پژوهش نیز می‌باشد، انجام شده است [5]. تحقیقات اولیه برای توسعه کنترل‌های تطبیقی بر روی یک مورد هواپیما با بال آسیب‌دیده مورد آزمایش قرار گرفت. برای این سناپیو از آسیب، شرایط تریم هواپیما از معادلات غیرخطی با لحاظ کردن جابه‌جایی مرکز جرم و تغییر در ضرایب آیرودینامیکی استخراج شد [6]. با استفاده از کنترل تطبیقی شرایط تریم استخراج شده تعقیب می‌شود.

روش‌های مختلف طرح ریزی مسیر شامل تجزیه سلولی^۴، گراف مشاهده‌پذیری^۵، نقشه راه احتمالاتی (PRMs)^۶ و تکنیک‌های جستجوی محلی برای تولید مسیر نشست هواپیمای آسیب‌دیده مورد استفاده قرار گرفته است [7]. روش‌های طراحی مسیر مختلفی برای عملیات‌های خودکار ایجاد شده است. مطالعه کامل در مورد الگوریتم‌های بهینه‌سازی عددی مسیر پرواز در مرجع [8] ارائه شده است. الگوریتم طرح ریزی مسیر تصادفی در یک محیط عاری از مانع در چارچوب نقشه راه تصادفی در مرجع [9] مورد مطالعه قرار گرفته است. مرجع [10] برای تخمین پاکت پروازی یک

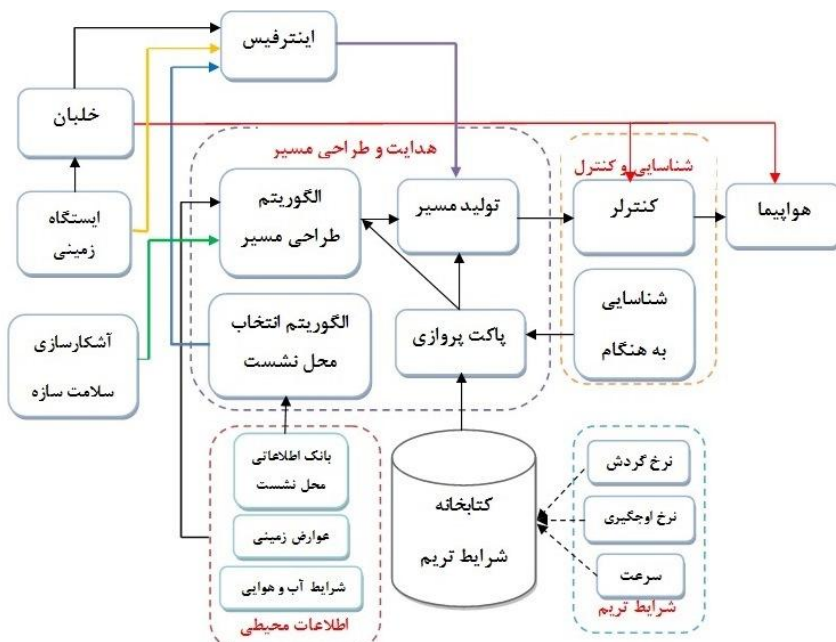
مهمترين ويژگي صنعت هوانوردی مدرن، ايمني بالا و حمل و نقل مطمئن است. اگرچه استفاده از تجهيزات هوانوردی مدرن، خلبان خودکار، سیستم محافظت از پاکت پروازی، انواع هشداردهنده‌ها داخل کابین، افرونگی چندگانه^۱ در سیستمهای حیاتی، سیستم مدیریت پرواز^۲، آموزش انواع سناریوهای شرایط اضطراری به خلبان و چکهای منظم هواپیما قبل و بعد از پرواز، احتمال وقوع حوادث ناشی از عیب يا آسیب را کاهش داده است، اما همچنان سوانح هواپی سالانه جان انسان‌های زیادی را می‌گیرد [1].

آسیب یا نقص در هواپیما می‌تواند منجر به افت شدید عملکرد هواپیما و از دست دادن کنترل هواپیما گردد. برای جلوگیری از اینگونه شرایط، محققان بر روی بهبود سیستم‌های خودکار جهت بازیابی هواپیمای آسیب‌دیده مرکز شده‌اند. سیستم‌های خودکار می‌توانند با شناخت آسیب یا نقص و تطبیق یافتن با آن به خلبان کمک نمایند. با شناسایی ویژگی‌های عملکردی پس از سانحه می‌توان یک مسیر جدید پروازی با توجه به محدودیت‌های مربوط به ویژگی‌های عملکردی کاهش‌یافته و ویژگی‌های پایداری جدید هواپیما ایجاد شود. نشست ایمن هواپیما پس از رویداد نقص یا آسیب با چالش‌های مختلفی روبرو است. اولین چالش نیاز به شناخت پاکت پروازی جدید هواپیما و محدودیت‌های سینماتیک آن است که نیاز به شناسایی هواپیمای آسیب‌دیده و تخمین پاکت پروازی بر اساس تأثیر نقص یا آسیب بر روی ویژگی‌های عملکردی و پایداری هواپیما دارد. چالش بعدی هدایت و کنترل ایمن هواپیمای آسیب‌دیده جهت نشست ایمن است [2].

یک استراتژی خودکار پیشرفته برای برآورده کردن این چالش‌ها در شکل ۱ نشان داده شده است [3]. در این استراتژی، ابتدا، زیرسیستم کنترل بر اساس شناسایی انجام شده از آسیب، به خلبان کمک می‌کند تا کنترل هواپیما را بدست گیرد. در این فرست، اطلاعات مربوط عوارض زمینی و پایه‌های حرکتی^۳ که شامل شرایط تریم جدید بر اساس نقص یا آسیب است [۳,2]، قبل از پرواز بر روی هواپیما بارگذاری می‌شود. زیرسیستم شناسایی رفتارهای کاهش یافته هواپیما به همراه پارامترهای مورد نیاز یافته هواپیما را کشف و شناسایی می‌کند. پس از اینکه ویژگی‌های کاهش یافته کشف شد، بر اساس پاکت پروازی جدید و اطلاعات محیطی یک

دوبینز⁷ برای حالتی که هواپیما موتورهای خود را از دست داده است مورد استفاده قرار گرفته است. الگوریتم طرح‌ریزی مسیر مبتنی بر جستجو در مرجع ذکر شده از نظر محاسباتی سنگین و پیچیده است. در مرجع [13] مسیرهای ایمن برای هواپیما ایسیپدیده بر اساس دینامیک جدید هواپیما با استفاده از یک الگوریتم جستجوی کامل استخراج می‌شود.

هواپیما با الیتور قفل شده و طراحی مسیر نشست ایمن به محل نشست مطلوب از آنالیز تریم استفاده کرده است. مجموعه شرایط تریم به کار رفته در مرجع [11] به علت پیچیدگی بالای الگوریتم جستجوی و زمان بر شدن حل، تا حد ممکن کوچک و محدود می‌شوند. در مرجع [12] یک الگوریتم طرح‌ریزی مسیر نشست تحلیلی بر اساس کوتاهترین مسیرهای



شکل ۱- زیرسیستم‌های درگیر در مدیریت نشست اضطراری

تصادفی درخت‌ها (RRTs) استفاده کرده است. مرجع [18] یک استراتژی طرح‌ریزی بر اساس کتابخانه پایه‌های حرکتی از پیش محاسبه شده در فضای سه-بعدی ارائه کرده است. همچنین یک روش بهینه‌سازی برای اطمینان از سازگاری مسیر با دینامیک وسیله هنگام انتقال بین شرایط تریم استفاده شده است. در مرجع [19]، منحنی‌های دوبینز به همراه مجموعه‌هایی از پایه‌های حرکتی استخراج شده از دینامیک وسیله برای طراحی مسیر سه-بعدی استفاده شده است که بسیار شبیه به روش توسعه دوبینز سه-بعدی ارائه شده در مرجع [12] می‌باشد. طرح‌ریزی مسیر برخط برای یک وسیله سریع با استفاده از الگوریتم جستجوی هیوریستیک و ترکیبی از روش‌های جستجوی حریصانه با برگشت به عقب مبتنی بر کتابخانه‌ای از مانورهای از پیش تعیین شده در مرجع [20] ارائه شده است.

استراتژی‌های مختلفی برای بهینه‌سازی مسیر نشست ارائه شده است. در مرجع [14] یک روش طراحی مسیر برای بازیابی هواپیمای دچار نقص با لحاظ کردن مراکزیم ایمنی ارائه شده است. طرح‌ریزی مسیر نشست برای هواپیمای آسیب‌دیده با استفاده از روش‌های احتمالاتی با استفاده از مدل سینماتیک ساده هواپیمای آسیب‌دیده در حضور مانع بررسی شده است [15]. تولید مسیرهای مقاوم و بهینه‌سازی سه بعدی مسیرهای نشست برای یک هواپیمای بال ثابت در حضور مانع در مرجع [16] بررسی شده است.

طراحی مسیر در این مقاله مبتنی بر ایده مانور خودکار⁸ (MA) است که برای اولین بار توسط فرزولی [17] ارائه شد. MA ترکیبی از پایه‌های حرکتی شامل شرایط تریم و مانور است. مسیرهای مختلف با چسبیدن تکه مسیرهای مانورها و تکه مسیرهای تریم مناسب قابل ایجاد است. مرجع [17] برای طراحی مسیر از پایگاه داده MA و روش جستجوی سریع

و تاثیر متقابل تغییر آنها دارد که امری بسیار دشواری است. در این زمینه تحقیقات و پژوهش‌های زیادی انجام شده است [21].

مرجع [22] مجموعه پرتو را برای حل مسئله طرح‌ریزی مسیر چند هدفه یک روبات پیشنهاد کرده است. برای حل مسائل بهینه‌سازی چند هدفه، روش‌های دیگر از قبیل بهینه‌سازی مینیمم-ماکزیمم [23]، برنامه‌ریزی چند هدفه [24]، ماتریس تصمیم‌گیری و روش آنتروپی [25] و الگوریتم‌های تکاملی مورد استفاده قرار گرفته‌اند. مرجع [26] یک مسئله چند هدفه با استفاده از الگوریتم PSO در طراحی مسیر یک روبات در محیط نامعین ارائه کرده است. استفاده از الگوریتم ژنتیک برای حل مسائل بهینه‌سازی چند هدفه در پژوهش‌های مختلف مورد استفاده قرار گرفته است. مانند مرجع [27] که در آن مسیر حرکت بهینه در حضور موانع و پنجتابع هزینه استخراج می‌شود.

عمده نوع آوری این مقاله تعیین وزن‌های بهینه برای توابع هزینه مختلف و به کارگیری آن در مسئله طراحی مسیر نشست یک هواپیما با بال آسیب‌دیده است. نمونه تحقیقاتی که از تحلیل پرتو برای بهینه‌سازی چند هدفی استفاده کرده‌اند، در مراجع [22] مشاهده می‌شود.

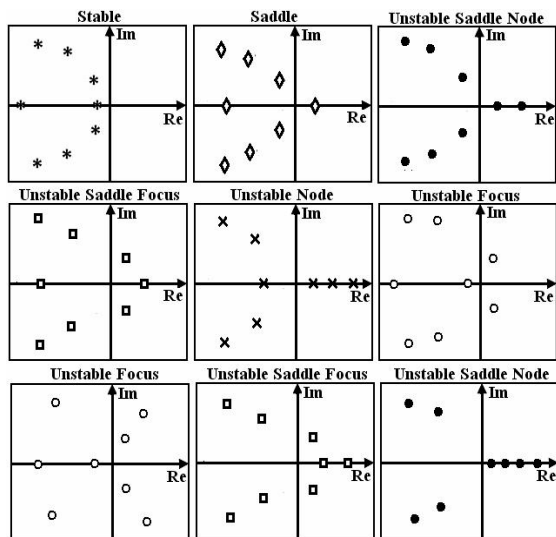
در این مقاله پس از استخراج پاکت پروازی هواپیما با بال آسیب‌دیده مطابق مرجع [2] و معرفی توابع هزینه مختلف، الگوریتم طراحی مسیر معرفی می‌شود. برای تعیین وزن نسبی توابع هزینه مختلف مورد استفاده در الگوریتم طراحی مسیر ابتدا تمامی توابع هزینه معرفی شده توسط یک تابع خطی فازی نرم‌الیزه می‌شوند و سپس از تحلیل پرتو و مقایسه دو به دو توابع هزینه مختلف برای استخراج وزن‌ها استفاده می‌شود. کلیه توابع هزینه با استفاده از روش جمع وزن دار⁹ در طراحی مسیر مورد استفاده قرار می‌گیرد. در قسمت آخر، عملکرد الگوریتم طراحی مسیر با وزن‌های بهینه استخراج شده در این مقاله با عملکرد الگوریتم A* که یک الگوریتم بهینه سرتاسری است، مقایسه شده و نتایج ارائه می‌شود.

پاکت پروازی

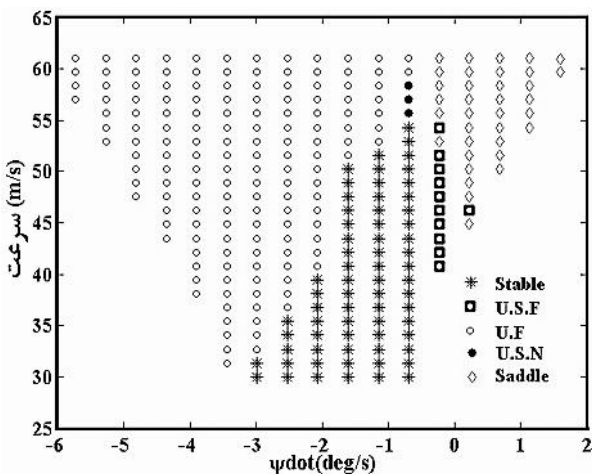
تعیین مجموعه نقاط تعادل قابل دستیابی¹⁰ یا شرایط پایایی یک سیستم در علوم مهندسی دارای اهمیت زیادی است. در واقع پایه‌های حرکتی¹¹ برای هواپیما همان نقاط قابل

در این مقاله برای طراحی مسیر از پاکت پروازی مانوری هواپیمای آسیب‌دیده در آسیب‌های مختلف بال (از دست دادن درصدی از نوک بال)، مطابق مرجع [2] استفاده می‌شود. پایداری محلی و کیفیت خوش‌دستی هر یک از شرایط تریم در داخل پاکت پروازی مورد تحلیل و بررسی قرار گرفت [2]. مطابق مرجع [3] یک معیار ایمنی (اندیس مقدار ایمنی) بر اساس ویژگی‌های پایداری و خوش‌دستی شرایط تریم تعریف می‌شود که به صورت یک تابع هزینه در طراحی مسیر مورد استفاده قرار می‌گیرد. نزدیک شدن هواپیمای آسیب‌دیده به باند علاوه بر معیار فوق به فاصله تا محل نشست، سرعت هواپیما، جهت باند، ارتفاع پروازی و محدودیت‌های زاویه گلاید و موانع موجود در مسیر بستگی دارد که برای داشتن یک مسیر ایمن همگی به صورت یک توابع هزینه در محاسبات مسیر وارد می‌شود. همچنین برای انجام طراحی مسیر با قابلیت پیاده‌سازی به‌هنگام، یک الگوریتم جستجوی محلی با الهام از روش میدان پتانسیل ارائه می‌شود که قادر است به سرعت مسیر نشست ایمن را از میان دسته شرایط تریم وزن دار از پیش محاسبه شده ایجاد نماید [3]. همچنین برای انتقال بین شرایط تریم استخراج شده در داخل پاکت پروازی یا ایجاد مانور از یک کنترلر استفاده می‌شود. بنابراین برای طراحی مسیر برای مقادیر معین از آسیب بال با توجه به استخراج شرایط تریم و تحلیل پایداری و خوش‌دستی و استخراج مانورهای بین شرایط تریم، یک کتابخانه از شرایط تریم و مانور وزن دار از پیش محاسبه شده، در اختیار است. وظیفه الگوریتم طراحی مسیر این است که یک مسیر نشست از میان نقاط تریم وزن درا که شرایط پروازی ممکن برای هواپیمای آسیب‌دیده است، ایجاد کند به گونه‌ای که با موانع موجود در مسیر برخورد نکند و الزامات نشست ایمن را فراهم کند [3].

در طراحی مسیر برای هواپیمای آسیب‌دیده ذاتاً توابع هزینه مختلف همزمان در مسئله درگیر است که منجر به یک مسئله بهینه‌سازی چند هدفی می‌شود. یکی از چالش‌های اساسی در این گونه مسائل تعیین وزن‌های توابع هزینه مختلف است. وزن نسبی توابع هزینه بر انتخاب شرایط تریم و شکل مسیر طراحی شده به شدت تاثیرگذار است. در بسیاری از پژوهش‌ها مانند مرجع [3] طراح با سعی و خطأ و شناختی که طراح از مسئله دارد وزن‌ها را تنظیم می‌کند. اما تعیین وزن‌ها نیاز به درک توازن بین توابع هزینه مختلف، بازه تغییرات آنها



شکل 2- پایداری محلی بر اساس مکان ریشه ها در صفحه مختلف



شکل 3- پاکت پروازی برای آسیب 30% بال چپ - سطح دریا

برای تخمین ویژگی کیفیت خوشدستی متاثر از تمامی مودها در هر نقطه تریم و فراهم نمودن یک معیار اولویت‌بندی در انتخاب شرایط تریم در طراحی مسیر پس از آسیب، اندیس ارزش ایمنی¹² ناشی از کیفیت خوشدستی (SVI_{SHQ}) تعریف می‌شود. علاوه بر این یک اندیس ارزش ایمنی بر اساس فاصله نرمالیزه هر نقطه تریم در پاکت پروازی تا مرز پاکت پروازی که با SVI_{FEB} نشان داده می‌شود، تعریف می‌شود.

اندیس ارزش ایمنی کل (SVI) به صورت ترکیبی از دو اندیس SVI_{FEB} و SVI_{SHQ} به عنوان معیار اولویت‌بندی انتخاب شرایط تریم در طراحی مسیر استفاده می‌شود. نمونه‌ای از مقدار اندیس معرفی شده برای پاکت پروازی هواپیما (شکل 3)

دستیابی یا شرایط تریم است که مجموعه آن در شرایط مختلف پروازی پاکت پروازی هواپیما را تشکیل می‌دهد [3].

هنگامی که یک هواپیما دچار آسیب می‌شود با توجه به تغییرات ناشی از آسیب، ضرایب آیرودینامیکی و همچنین پارامترهای جرمی و ممانی آن تغییر می‌کند. مسلماً در چنین شرایطی محدودیتهای عملکردی و پایداری هواپیما نیز دستخوش تغییر می‌شود. تغییر در سرعت استال، سرعت کنترل‌پذیری، ماکزیمم نرخ چرخش و مینیمم شعاع چرخش، ماکزیمم زاویه رول و شرایط تریم از جمله موارد عملکردی هواپیما است. بنابراین برای داشتن یک نشت ایمن، اطلاع از پاکت پروازی هواپیما آسیب‌دیده و محدودیتهای عملکردی و پایداری جدید ضروری است.

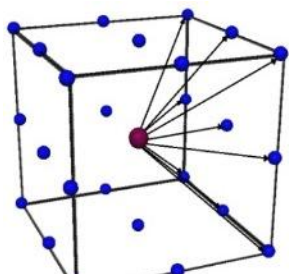
در این مقاله مطابق مرجع [3]، شرایط تریم هواپیمای آسیب‌دیده با استفاده از معادلات غیرخطی و کوپله هواپیما با لحظ تغییرات ضرایب آیرودینامیکی ناشی از آسیب استخراج می‌شود. پس از رویداد آسیب، هواپیما به منظور فرود در مکان مناسب نیاز به تغییر جهت و ارتفاع دارد. بر همین اساس، پاکت پروازی مانوری هواپیما شامل نرخ گردش ($\dot{\psi}$) و زاویه مسیر برای تغییر ارتفاع (V) در سرعت‌های مختلف (V) است.

در واقع پاکت پروازی مانوری طیفی از پایه‌های حرکتی یا شرایط تریم هواپیما است که در هر ارتفاع منجر به پایگاه داده سه بعدی $\dot{\psi}$, V , $\dot{\psi}$ می‌شود. جزئیات کامل استخراج پاکت پروازی مانوری هواپیمای آسیب‌دیده در مرجع [2] ارائه شده است. پایداری محلی هواپیما در هر یک از شرایط تریم در داخل پاکت پروازی مانوری استخراج می‌شود. ویژگی‌های پایداری ارائه شده بر اساس استخراج مدل خطی هواپیما در هر شرایط پروازی و مقادیر ویژه آن مطابق مرجع [3,2] بدست می‌آید. انواع پایداری محلی با توجه به مکان مقادیر ویژه مدل خطی در هر شرایط پروازی مطابق شکل 2 تعریف شده است. نمونه‌ای از پاکت پروازی مانوری با ویژگی‌های پایداری محلی به ازای آسیب 30 درصد بال چپ در شکل 3 ارائه شده است.

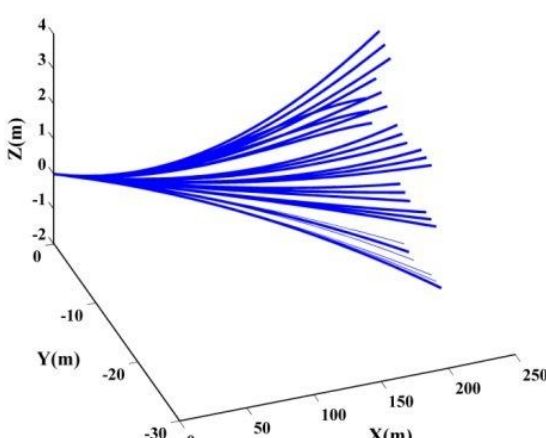
در ادامه به منظور استفاده از پایه‌های حرکتی در طراحی مسیر، شرایط تریم بر اساس کیفیت خوشدستی در تمامی مودهای حرکتی اولویت‌بندی می‌شوند. به همین منظور مطابق مرجع [3,2] ابتدا در هر یک از شرایط تریم مطلوب، مودهای حرکتی استخراج می‌شود و سپس کیفیت پروازی هر مود بر اساس میزان میرایی و فرکانس طبیعی آن محاسبه می‌شود.

ذخیره می‌شود تا در طراحی مسیر مورد استفاده قرار گیرند. در این ماتریس، SVI , Δs به ترتیب طول و مقدار اندیس اینمی کل برای تکه مسیرها است. Δp_x , Δp_y , Δp_z تغییرات موقعیت در دستگاه اینرسی و $\Delta \psi$, $\Delta \gamma$ تغییر زاویه مسیر و سمت هر تکه مسیر می‌باشد.

در واقع برای هر شرایط تریم در داخل پاکت پروازی ماتریس D برای 27 همسایگی آن محاسبه و در پایگاه داده طراحی مسیر ذخیره می‌شود. با این عمل دینامیک هوانوردی مسیر گستته شده و نیازی به حل دینامیک هنگام طراحی مسیر نیست. بنابراین ضمن لحاظ دینامیک کامل وسیله در طراحی مسیر در زمان حل و استخراج مسیر صرفه‌جویی می‌شود. استخراج سریع مسیر نشست در شرایط اضطراری از اهمیت زیادی برخوردار است.



شکل 5- شرایط تریم در همسایگی هر نقطه تریم

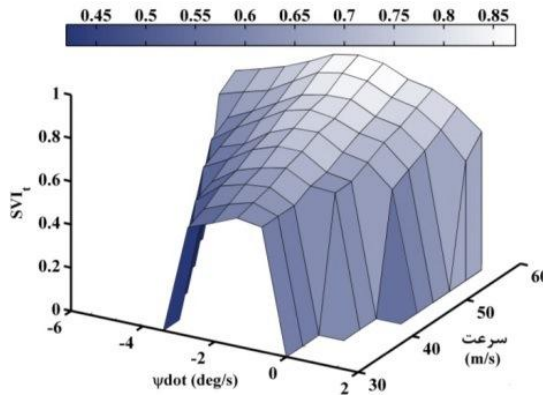


شکل 6- تولید مانور با استفاده از کنترلر LQR

طرح ریزی مسیر

برای طرح ریزی مسیر در این مقاله از یک الگوریتم مبتنی بر روش میدان پتانسیل برای محاسبه مسیر به هنگام¹⁴ استفاده

در شکل 4 ارائه شده است. جزئیات استخراج کیفیت خوشنده‌ستی و مقادیر اندیس اینمی بر شرایط تریم مختلف در پژوهش‌های قبلی (مراجع [۳,۲]) ارائه شده است.



شکل 4- مقادیر SVI در شرایط تریم در داخل پاکت پروازی

پایگاه داده‌های پروازی

وظیفه الگوریتم طراحی مسیر شناسایی صحیح و مناسب توالی شرایط تریم از نقطه شروع، جایی که آسیب رخ می‌دهد تا محل نشست با سمت مطلوب می‌باشد. بر اساس پاکت پروازی استخراج شده، یک مجموعه همسایگی برای هر یک از شرایط تریم (T) تعریف می‌شود و بر اساس آن مانورها (M) برای شرایط تریم تعریف می‌شود. مطابق شکل 5، هر T دارای 26 همسایگی است. تکه مسیرهایی با زمان انتقال ثابت 5 ثانیه بین شرایط تریم برای هر یک از شرایط تریم با توجه به شرایط تریم همسایگی با استفاده از یک کنترلر LQR¹³ تولید می‌شود و تغییرات ایجاد شده در حالتها ($\Delta p_x, \Delta p_y, \Delta p_z, \Delta \psi, \Delta \gamma$) در پایگاه داده به صورت ساختار یافته ذخیره می‌شود تا قابلیت استفاده به صورت به هنگام را داشته باشد.

بنابراین برای هر شرایط تریم 27 تکه مسیر شامل 26 مانور به شرایط تریم همسایگی و یک مسیر تریم 5 ثانیه (حفظ نقطه تریم مطلوب) وجود دارد. نمونه‌ای از 27 تکه مسیر برای نقطه تریم ($V_T^* = 60 \text{ m/s}$, $\psi^* = 0^\circ$, $\gamma^* = 3.75 \text{ deg}$) در شکل 6 نشان داده شده است. همانطور که قبلاً توضیح داده شد، تکه مسیرهای ایجاد شده توسط کنترلر LQR تولید می‌شوند. بر اساس شرایط همسایگی برای هر نقطه تریم، مقادیر تغییرات در ماتریس؛ $D = [\Delta p_x, \Delta p_y, \Delta p_z, \Delta \psi, \Delta \gamma, \Delta s, SVI_T]$

برای مقایسه عملکرد الگوریتم پیشنهادی از آن استفاده می-
شود.

الگوریتم دایجسترا در هر گام تمام گره‌های موجود در همسایگی را جستجو و گسترش می‌دهد. این امر منجر به یک فضای جستجوی بسیار بزرگ از مرتبه 27^N در طراحی مسیر می‌شود که در آن 27 تعداد حالت‌های همسایگی برای هر گره است و N تعداد کل تکه مسیرها در طراحی مسیر مطلوب می‌شود. الگوریتم جستجوی A^* برخلاف روش دایجسترا تمامی حالت‌های همسایگی را در هر گام جستجو نمی‌کند اما با نگاه داشتن گره‌های جبهه در یک ستون، مسیرهای چندگانه را جستجو می‌کند و در هر گام بهترین گره موجود در ستون جبهه را بر اساستابع هزینه کل الگوریتم A^* توسعه می‌دهد تا در نهایت جواب بهینه را پیدا کند. بنابراین الگوریتم A^* همچنان منجر به ایجاد فضای جستجوی نسبتاً بزرگی می‌شود، تا حدی بزرگ که قابل پیاده سازی به نگام بر روی کامپووتر نصب بر روی هواپیما نیست. روش‌های مختلف مبتنی بر A^* برای کاهش تلاش محاسباتی در فرایند جستجو توسعه یافته است. در روش A^* وزن دار WA^* ²¹ تابع هزینه کل با $f(n) = g(n) + W * h(n)$ می‌شود که در آن W فاکتور وزنی تابع هیوریستیک است. الگوریتم WA^* الزامات بهینگی الگوریتم A^* را با افزایش اهمیت تابع هیوریستیک که منجر به انتشار حالت‌های نزدیک‌تر به هدف می‌شود، راحت‌تر می‌کند. در روش A^* وزن دار دینامیکی (DWA^*)، فاکتور وزن با توجه به عمق جستجو تنظیم می‌شود، که باعث کاهش اهمیت تابع هیوریستیک با نزدیک شدن به مانع شده و منجر به جواب نزدیک- بهینه یا بهینه می‌گردد [29].

از آنجا که برای تولید مسیر برای نشست اضطراری به یک الگوریتم به نگام نیاز داریم، از الگوریتم جستجوی مبتنی بر روش میدان پتانسیل با تابع هزینه معرفی شده در روش A^* برای جستجو در کتابخانه مسیرهای از پیش تعیین شده استفاده می‌کنیم. الگوریتم معرفی شده با استفاده از کتابخانه تریم یک مسیر از حالت اولیه به حالت نهایی پیدا می‌کند به گونه‌ای که در هر گام، گره با هزینه بهینه (کمترین گرادیان) انتخاب می‌شود. استفاده از این الگوریتم، فضای جستجوی کل را به شدت کاهش داده به گونه‌ای که فضای جستجو به $N \times N$ می‌رسد که در آن N تعداد گام‌ها در کل مسیر پرواز است.

می‌شود. الگوریتم بر اساس توابع هزینه معرفی شده در هر گام بهترین تکه مسیر را از میان پایگاه تکه مسیرهای از پیش محاسبه شده با لحاظ محدودیت عدم برخورد با موانع را انتخاب می‌کند. حالت نهایی شامل موقعیت، زاویه سمت و زاویه گلاید در محل نشست می‌باشد که به ترتیب با $\psi_g, \gamma_g, P_{x_g}, P_{y_g}, P_{z_g}$ نشان داده می‌شود. از آنجا که الگوریتم طراحی مسیر از تکه مسیرها با مقدار ثابت Δt از پیش تعیین شده استفاده می‌کند، الزام رسیدن دقیق الگوریتم جستجو به محل نشست هنگام رسیدن به محدوده همسایگی حالت نهایی ساده می‌شود. همانطور که بیان شد، برای داشتن یک الگوریتم به هنگام در این مقاله از یک الگوریتم جستجو شبیه میدان پتانسیل استفاده می‌شود.

روش میدان پتانسیل مصنوعی (APF)¹⁵ [27] در دو دهه اخیر به عنوان یک الگوریتم محاسباتی کارا برای طراحی مسیر در روبات‌ها و وسایل زمینی گوناگون مورد استفاده قرار گرفته است. روش APF، از گرادیان محلی برای هدایت وسیله از نقطه شروع به نقطه نهایی استفاده می‌کند. توابع پتانسیل جاذب وسیله مورد نظر را به سمت هدف جذب کرده و توابع پتانسیل دافع وسیله را از موانع دفع می‌کند. در هر لحظه ماکریم مقدار نهایی گرادیان وسیله را به سمت هدف هدایت می‌کند. اگرچه امکان رویداد آن در میدان موانع پراکنده نا محتمل است. در این مقاله، گام‌های ممکن در جهت گرادیان، مربوط به 27 عدد تکه مسیر موجود در همسایگی حالت تریم کنونی است. به عبارت دیگر، در هر گام، تکه مسیری که دارای مینیمم پتانسیل کل باشد، انتخاب می‌شود. روش‌های جستجوی ترکیبی گزینه دیگری نسبت به روش بر پایه گرادیان از قبیل روش APF می‌باشد. تفاوت استفاده از این روش‌ها در این است که روش APF یک روش محاسباتی سریع است، اما روش‌های جستجوی ترکیبی¹⁶ تضمین کننده جستجوی کامل در فضای جستجو است و حل آن بهینه است. برای مثال، الگوریتم A^* دارای تابع هزینه کل $f(n) = g(n) + h(n)$ برای هر گره است که در واقع مجموع هزینه نقطه شروع تا نقطه کنونی (n) و تابع هزینه هیوریستیک $h(n)$ تخمین هزینه گره کنونی تا هدف است. الگوریتم جستجوی A^* یک الگوریتم کامل¹⁷ و بهینه است که از ترکیب دو روش الگوریتم دایکسترا¹⁸ و جستجوی "اولین بهترین"¹⁹ (با حریصانه²⁰) تشکیل شده است [28] و

داود اسدی ، مهدی سبزه پور ، علی نگهبان برون موجود در همسایگی)،تابع پتانسیل کل (توابع هیوریستیک) همگی تعریف گردند. بنابراین در طراحی مسیر، هدف پیدا کردن توالی تکه مسیرهایی است که دارای بیشترین مقدار اینمی، کمترین زمان پرواز و فاصله کافی از موانع باشد. حالت‌های تریم نهایی شامل موقعیت نهایی (P_L)، جهت باند (ψ_L)، زاویه گلاید در تقرب (γ_L) و سرعت نشست (V_L) می‌شود. تابع هیوریستیک²² ارائه شده شامل معیار اینمی و همچنین حالت نهایی است که تضمین کننده موقعیت، سمت، زاویه گلاید نهایی هوپیما مطابق با الزامات نهایی نشست و موقعیت و سمت باند است. سرعت هوپیما برای نشست می‌باشد کاهش یابد و مقدار آن در حدود سرعت استال هوپیما باشد چرا که سرعت نشست بالا نشست این را به خطر می‌اندازد. در ادامه تابع هزینه ($g(n)$ و $h(n)$ معرفی می‌شوند. برای سادگی، تابع هزینه ($g(n)$ به عنوان جمع طول کل تکه مسیرها، $\Delta\gamma$ ، از ابتدا تا حالت کنونی است. تابع هیوریستیک $h(n)$ در قسمت بعد معرفی شده است. در هر گام الگوریتم طراحی مسیر، از میان 27 انتخاب ممکن با توجه به مقدار هزینه کل بهترین، یک حالت تریم را به عنوان حالت تریم بعدی انتخاب می‌کند. هر دو الگوریتم پیشنهادی و الگوریتم A^* هنگامی که به تلوانس قابل قبولی از هدف برسند، متوقف می‌شوند.

تعریف توابع هزینه

تابع هزینه هیوریستیک کل به شکل جمع وزن‌دار مطابق رابطه (6) تعریف می‌شود [30]:

$$h(n) = \sum_{k \in \Omega} J_k \quad (6)$$

که در آن؛

$\Omega = \{ SVI_T, P_L, altitude, time, \psi_L, \gamma_L, V_L, terrain \}$ نشان‌دهنده مجموع توابع معیاری است که قبلاً تعریف شده است. برای هر یک از ترم‌های توابع یک وزن اختصاص داده می‌شود تا ارتباط نسبی تأثیر هر یک از توابع با تابع هزینه کل استخراج گردد. روابط (7) تا (13) یک از ترم‌های تابع هزینه را معرفی می‌کند [30]:

$$J_{SVI} = w_{SVI}(1 - SVI_T) \quad (7)$$

بنابراین این الگوریتم قابلیت پیاده‌سازی به‌هنگام را دارد. در هر گام، این الگوریتم بر اساس تابع هزینه معرفی شده نقطه کاندید بعدی را از میان نقاط همسایگی حالت تریم انتخاب می‌کند. در طرح‌ریزی مسیر بر اساس روش پیشنهادی، تابع هزینه به صورت جمع توابع جاذب هدف و توابع دافع موانع محاسبه می‌شوند.

در این مقاله، تابع هزینه استفاده شده برای هر دو الگوریتم A^* و الگوریتم مبتنی بر روش میدان پتانسیل از توابع هزینه $f(n) = g(n) + W^*h(n)$ استفاده می‌شود. با استفاده از این فرایند می‌توان هزینه کل پاسخ‌های استخراج شده را با هم مقایسه نمود. به عبارت دیگر برای جستجو در فضای تکه مسیرهای ایجاد شده از دو الگوریتم A^* و مبتنی بر پتانسیل استفاده می‌شود و نتایج حاصل با هم مقایسه می‌شود. در واقع از آنجا که الگوریتم A^* یک الگوریتم بهینه و کامل است برای مقایسه نتایج به عنوان مرجع در نظر گرفته می‌شود. ترم‌های هزینه $g(n)$ و $h(n)$ در ادامه معرفی خواهند شد.

سینتیک حالت‌های هوپیما برای هر گام با استفاده از معادلات (1) تا (5) به روز می‌شود:

$$\psi_{mean} = \frac{\psi_{previous} + (\psi_{previous} + \Delta\psi)}{2} \quad (1)$$

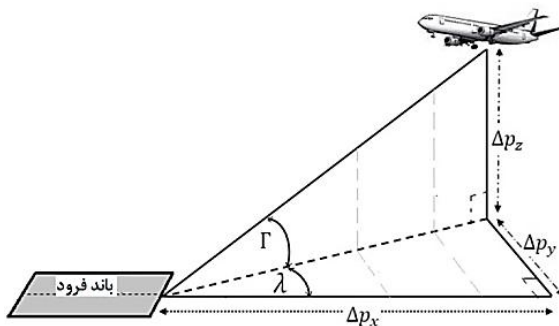
$$\gamma_{mean} = \frac{\gamma_{previous} + (\gamma_{previous} + \Delta\gamma)}{2} \quad (2)$$

$$p_x = p_{x previous} + \Delta s \cos(\gamma_{mean}) \cos(\psi_{mean}) \quad (3)$$

$$p_y = p_{y previous} + \Delta s \cos(\gamma_{mean}) \sin(\psi_{mean}) \quad (4)$$

$$p_z = p_{z previous} + \Delta s \sin(\gamma_{mean}) \quad (5)$$

از آنجا که ψ و γ در هر گام از الگوریتم بهینه‌سازی مقادیر ثابت هستند، یک مقدار میانگین برای آن به صورت ψ_{mean} ، γ_{mean} تعریف شده و موقعیت جدید هوپیما بر اساس آن استخراج می‌شود. اینمی مسیر طراحی شده با اعمال SVI_t ، عدم برخورد با مانع، زمان پرواز و الزامات نهایی نشست هوپیما (موقعیت باند، جهت باند، زاویه گلاید و سرعت نشست) فراهم می‌شود. تمامی معیارهای بیان شده به صورت توابع هزینه مدل می‌شوند تا در الگوریتم طراحی مسیر برای محاسبه مسیر این مورد استفاده قرار گیرند. برای تعیین مسئله طراحی مسیر توسط الگوریتم پیشنهادی، می‌بایست موقعیت اولیه، موقعیت نهایی، گام‌های ممکن (پایگاه داده حالت‌های تریم



شکل 7- موقعیت هواپیما نسبت به باند

$$J_\gamma = w_\gamma |\gamma_a - \gamma_L| \quad (10)$$

که در آن γ_a زاویه مسیر پرواز هواپیما و γ_L زاویه گلاید مطلوب است. مقدار وزن در هنگام تقرب به باند غیر صفر است و در جاهای دیگر صفر در نظر گرفته می شود. افزایش وزن w_γ به همراه وزن مربوط به زاویه سمت در الگوریتم طراحی مسیر باعث کشاندن مسیر به سمت خط مرکزی و سمت باند مطلوب می شود. در واقع، بر اساس یک فاصله تعریف شده از باند، مقدار وزن از صفر به یک مقدار بزرگ تغییر می کند.

نشست هواپیما عموماً با سرعت پایین و بدون زاویه رول انجام می شود. تابع هزینه سرعت برای جریمه سرعت های بالاتر از سرعت مطلوب نشست، به صورت رابطه (11) تعریف می شود:

$$J_{V_L} = w_{V_L} |V_a - V_L| \quad (11)$$

وزن سرعت w_{V_L} هنگام قرار گرفتن هواپیما در فاز تقرب یک مقدار قابل ملاحظه غیر صفر دارد و از مقدار صفر در فاصله های دور به یک مقدار بزرگ تغییر می کند. در انتخاب شرایط تريم باد یا اغتشاشات اتمسفر در نظر گرفته نشده است. در صورت وجود باد از جانب در هنگام نشست نیاز به شرایط تريم با زوایای سرش جانبی و زاویه رول غیر صفر است. بنابراین می توان کتابخانه شرایط تريم را برای شرایط تريم بدون قید زاویه سرش جانبی صفر درجه استخراج نمود.

هنگام طراحی مسیر فرض بر این است که کلیه موانع اطراف بر روی کامپوترا پرواز بارگذاری شده است و تمامی موانع و عوارض در محدوده اطراف محل نشست معلوم هستند. در الگوریتم طراحی مسیر پیشنهادی، مowanع نزدیک توسط یک تابع نمایی به شرح رابطه (12) جریمه می شوند تا ریسک ناشی از برخورد را کاهش دهند [30]:

بر اساس آنالیز SVI_T ، در یک هواپیما با بال چپ آسیب دیده، افزایش وزن تابع هزینه فوق (W_{SVI}) منجر به ایجاد مسیرهایی با مقادیر بالاتر SVI_T می شود.

موقعیت نهایی هواپیما باید با موقعیت ابتدای باند برابر باشد بنابراین تابع هزینه P_L به عنوان فاصله هواپیما تا موقعیت مطلوب باند به صورت زیر تعریف می شود [30]:

$$J_{P_L} = w_{P_L} \sqrt{\Delta p_x^2 + \Delta p_y^2 + \Delta p_z^2} \quad (8)$$

در رابطه (8) مقادیر ($\Delta p_x, \Delta p_y, \Delta p_z$) به ترتیب نشان دهنده فاصله هواپیما تا محل نشست در جهت x, y و z است. از آنجا که تکه مسیرهای زمان- ثابت در طراحی مسیر مورد استفاده قرار می گیرد، افزایش وزن تابع هزینه "مسافت باقی مانده"²³ (w_{P_L}) منجر به تولید مسیرهایی با سرعت های بالاتر می شود که در نهایت باعث کاهش زمان پرواز کل و همچنین کاهش مانور بین شرایط تريم می شود. قبل ذکر است که مقادیر وزن های تابع هزینه مانند (w_{P_L}) در قسمت بعد بر اساس تحلیل پرتو استخراج می شود.

همراستا شدن هواپیما با سمت نهایی با تابع هزینه (9) بدست می آید [30]:

$$J_{\psi_L} = w_{\psi_L} |\psi_a - \psi_L| \quad (9)$$

وزن تابع فوق هنگامی که هواپیما بر اساس تابع تعریف شده توسط کاربر "نزدیک"²⁴ سایت محل نشست است مقدار غیر صفر است و در جاهای دیگر صفر در نظر گرفته می شود. از جمله تجهیزات ناوی بری کمک کننده به هواپیما هنگام نشست لوکالایزر²⁵ است که هواپیما را به خط مرکزی باند هدایت می کند. شبیگلاید²⁶ نیز چگونگی نزول نهایی هواپیما را تنظیم می کند. پارامترهای ایدهآل تقرب می تواند به صورت تابع هزینه در طراحی مسیر مورد استفاده قرار گیرد؛ اگرچه هواپیمای آسیب دیده نتواند مقادیر ایدهآل را دنبال کند ولی در فاز نهایی از شرایط تريم با مقادیر نزدیک به شرایط ایدهآل استفاده می شود. در ابتدا، زاویه γ مطابق شکل 7 به گونه ای تعریف می شود که هواپیما را به سمت مرکز باند نزدیک نماید (وظیفه لوکالایزر). ترم هزینه بر اساس زاویه مسیر هواپیما (رابطه 10) به گونه ای تعریف می شود که هواپیما با زاویه گلاید مطلوب به باند محل نشست تقرب نماید [3]:

برای مثال، فاصله تا مانع یا عوارض زمینی با استفاده ازتابع فازی خطی، به صورت رابطه (16) نرمالیز می‌شود:

$$J_{T,i} = \frac{J_T^i - J_{T\min}^i}{J_{T\max}^i - J_{T\min}^i} \quad (16)$$

که در رابطه فوق $J_{T\min}^i$ و $J_{T\max}^i$ بیشترین و کمترینتابع هزینه مانع موجود در میان کل تکه مسیرها تا آ-امین مانع است و J_T^i تابع هزینه مانع تا آ-امین مانع است. در صورتی که تعداد موانع بیشتر از یک مانع باشد، تابع هزینه موانع با استفاده از یک عملگر فازی برای کل موانع محاسبه می‌شود. برای مثال، هنگامی که تعداد موانع در محدوده هواپیما 2 عدد باشد، تابع هزینه کل به صورت رابطه (17) محاسبه می‌شود:

$$J_T = J_{T,1} + J_{T,2} = J_{T,1} + J_{T,2} - J_{T,1} J_{T,2} \quad (17)$$

بهینه‌سازی چندهدفی

فرایند بهینه‌سازی همزمان و سیستماتیک مجموعه ای از توابع هدف، بهینه‌سازی چند هدفی²⁷ یا بهینه‌سازی برداری نامیده می‌شود. مسئله بهینه‌سازی اهداف چندگانه عموماً به صورت رابطه (18) تعریف می‌شود [25]:

$$\begin{aligned} \text{Minimize } J(\mathbf{x}) &= [J_1(\mathbf{x}), J_2(\mathbf{x}), \dots, J_k(\mathbf{x})]^T \\ g_i(\mathbf{x}) &\leq 0, \quad i=1, 2, \dots, m \\ h_l(\mathbf{x}) &= 0, \quad l=1, 2, \dots, e \end{aligned} \quad (18)$$

که در رابطه (18) تعداد توابع هدف، m تعداد قیدهای نامساوی و e تعداد قیدهای مساوی است. $\mathbf{x} \in E^n$ بردار متغیرهای طراحی (یا متغیرهای تصمیم‌گیری) است که در آن n تعداد متغیرهای مستقل x_i است.

$J(\mathbf{x}) \in E^k$ بردار توابع هدف²⁸ است که تابع هزینه²⁹ یا تابع ارزش³⁰ نیز نامیده می‌شود، برای اعمال اثر تمامی توابع هزینه در مسئله طراحی مسیر از روش جمع وزن دار³¹ مطابق رابطه (19) استفاده می‌شود:

$$J_{Total} = \sum_{i=1}^k g_i + w_k J_k, \quad k : cost functions \quad (19)$$

این روش علی‌رغم سادگی در ارای چالش بزرگی است که آن تعیین وزن توابع مختلف است. در تعیین وزن‌ها بازه تغییرات تابع هزینه و مصالحه و تاثیر متقابل بین توابع هزینه

$$J_{Terrain} = w_{Terrain} \exp\left(\frac{1}{d_T}\right) \quad (12)$$

در تابع هزینه فوق d_T مسافت هواپیما تا عوارض است و $d_T = \sqrt{(p_x - x_T)^2 + (p_y - y_T)^2 + (p_z - z_T)^2}$ به صورت (x_T, y_T, z_T) و (p_x, p_y, p_z) به محاسبه می‌شود. که در آن Γ به ترتیب موقعیت هواپیما و عوارض در دستگاه اینرسی است. بر اساس آنالیز پاکت پروازی، هواپیما دارای محدودیت در ماقزیم مقدار منفی زاویه مسیر (γ_{\min}) است. زاویه Γ مطابق شکل 7 برای اعمال این محدودیت به صورت زیر تعریف می‌شود [3]:

$$\Gamma = \tan^{-1}\left(\frac{\Delta p_z}{\sqrt{\Delta p_x^2 + \Delta p_y^2}}\right) \quad (13)$$

مطابق شکل (7) زاویه Γ نشان‌دهنده زاویه نسبی بردار موقعیت هواپیما به محل نشست نسبت به افق می‌باشد. فرض می‌شود، γ_{\min} مینیمم زاویه مسیر قابل دستیابی در پاکت پروازی هواپیمای آسیب‌دیده باشد. بنابراین تابع هزینه ارتفاع بر اساس زاویه Γ به صورت زیر تعریف می‌شود [3]:

$$J_{Alt.} = \begin{cases} w_{Alt.} (\Gamma - |\gamma_{\min}|) & w_{Alt.} (\Gamma + \gamma_{\min}), \quad \Gamma > |\gamma_{\min}| \\ 0 & \text{otherwise} \end{cases} \quad (14)$$

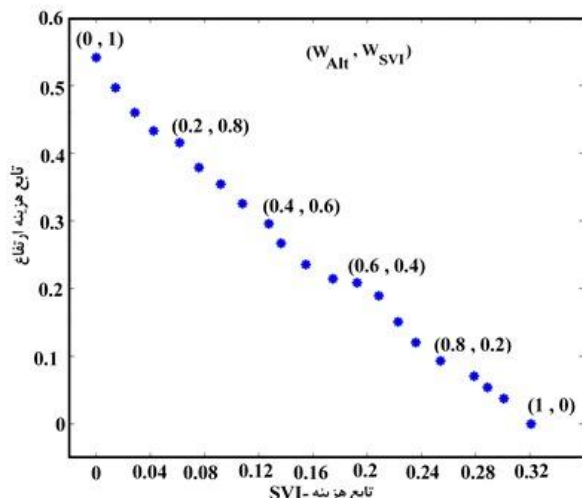
استفاده از این ترم به عنوان تابع هزینه در الگوریتم طراحی مسیر باعث کاهش ارتفاع هواپیما در یک مسیر دایره‌ای حول محل نشست می‌شود تا هواپیما قابلیت کاهش ارتفاع و نزول مستقیم به سمت محل نشست را داشته باشد.

استخراج وزن توابع هزینه

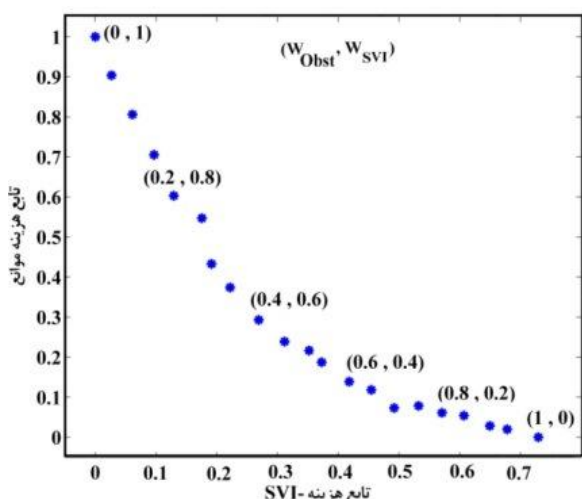
برای اعمال تابع هزینه در طراحی ابتدا وزن‌ها توسط یک تابع فازی خطی نرمالیزه می‌شوند. از آنجا که محدوده تغییرات هر یک از توابع هزینه متفاوت است با انجام این فرایند همگی در یک بازه یکسان قابل مقایسه قرار می‌گیرند. تابع خطی فازی استفاده شده در فرایند نرمالیزه به شرح رابطه (15) است:

$$J_\beta = \frac{J_\beta - J_{\beta,\min}}{J_{\beta,\max} - J_{\beta,\min}}, \quad \beta = Cost function \quad (15)$$

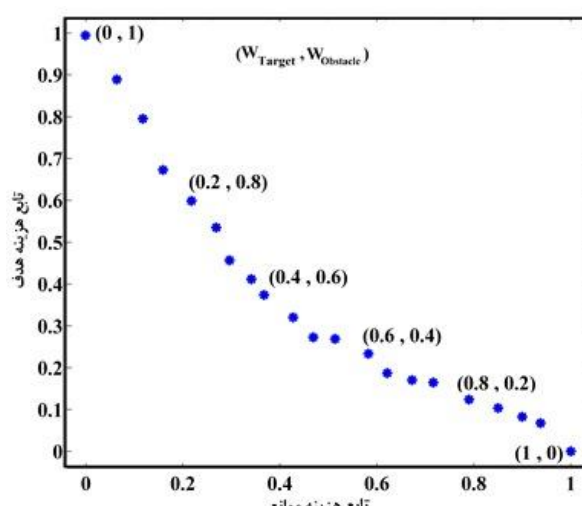
که در رابطه فوق $J_{\beta,\max}$ و $J_{\beta,\min}$ به ترتیب ماقزیم و مینیمم مقدار تابع هزینه در هر گام از بهینه‌سازی در میان 27 انتخاب تکه مسیرهای موجود در همسایگی است.



شکل 9- جبهه پرتو تابع هزینه ارتفاع بر حسب SVI



شکل 10- جبهه پرتو تابع هزینه ارتفاع بر حسب SVI



شکل 11- جبهه پرتو تابع هزینه مانع بر حسب هدف

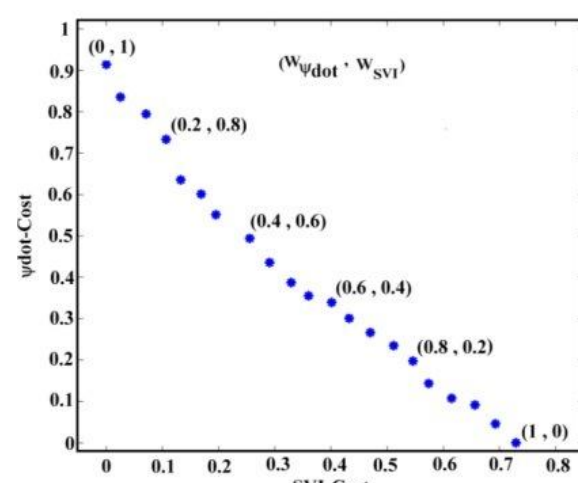
مختلف باید در نظر گرفته شود. یکی از روش‌های تعیین وزن‌های توابع استفاده از تحلیل پرتو و مقایسه دوبه دو³² آن‌ها می‌باشد که در ادامه به آن پرداخته می‌شود.

استخراج جبهه پرتو

انتخاب صحیح وزن هر یک از توابع تبدیل و رسیدن به بهترین جواب از دید طراح، نیاز به بررسی دقیق ارتباط بین توابع هزینه و محدوده و میزان تأثیر آن‌ها بر یکدیگر دارد. به منظور بررسی ارتباط و ارزیابی تأثیر توابع بر یکدیگر، از آنالیز پرتو استفاده می‌شود. بررسی جبهه پرتو برای ترکیب توابع هزینه مختلف به طراح کمک می‌کند تا ارتباط بین توابع را درک نماید [25]. تعیین جبهه پرتو بر اساس تغییر پله‌ای نسبی وزن توابع هزینه به صورت دو به دو انجام می‌شود. در حقیقت، در مسئله بهینه‌سازی با چند تابع هزینه، توابع هزینه دو به دو انتخاب می‌شوند و جبهه پرتو با تغییر نسبی اوزان توابع هزینه استخراج می‌شود. بازه تغییرات وزن‌ها بین صفر و یک می‌باشد.

آنالیز پرتو، درک صحیحی از چگونگی تغییر ویژگی‌های معیارهای مختلف برای طراح یا تصمیم‌گیرنده فراهم می‌کند [30]. علاوه بر این می‌تواند در مرحله بالاتر استنباط صحیحی از تعریف مقادیر ماکزیمم و مینیمم برای هر تابع هزینه فراهم نماید [31].

اشکال 8 تا 11 جبهه پرتو برخی توابع هزینه را به ازای وزن‌های مختلف نشان می‌دهد که تعیین کننده تعامل وزن‌ها و محدوده ماکزیمم و مینیمم توابع هزینه است.

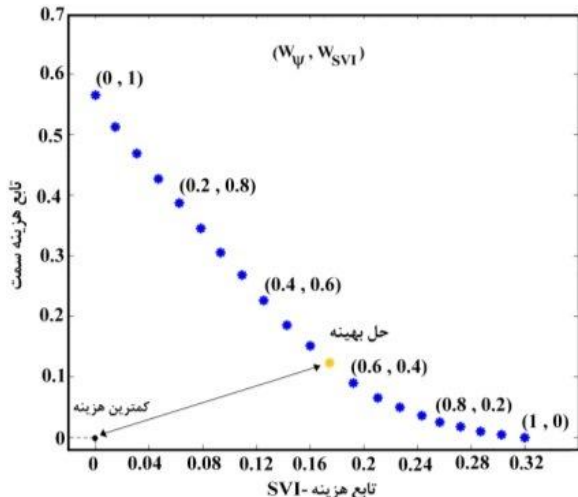


شکل 8- جبهه پرتو تابع هزینه نرخ سمت بر حسب SVI

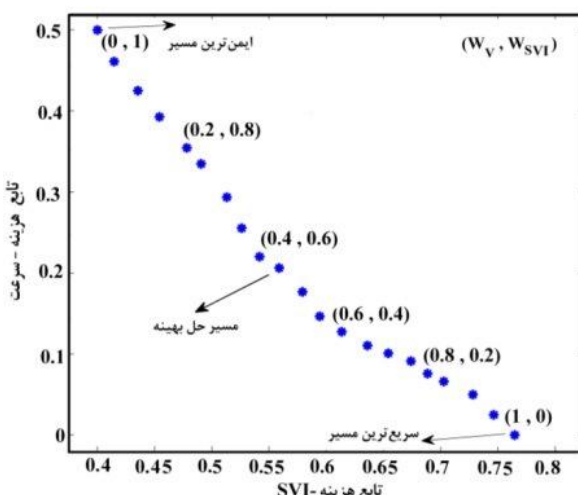
داود اسدی ، مهدی سبزه پور ، علی نگهبان برون
با داشتن مجموعه پرتو، روش فوق با مقایسه وزن‌های مختلف بهترین جواب را محاسبه می‌کند. برای مثال مطابق شکل 13، جواب بهینه (مصالحه) بر اساس رابطه (20) استخراج شده است.

جهله پرتو تابع هزینه SVI و سرعت در شکل 14 نشان داده شده است. مسیرهای استخراج شده به ازای وزن‌های مختلف و وزن بهینه نیز در شکل 15 ارائه شده است.

متغیرهای پروازی متناظر با سه مسیر استخراج شده در شکل 16 نشان می‌دهد که مسیر با وزن سرعت بالاتر سریع‌تر به مقصد می‌رسد. برای مقایسه بهتر این سه مسیر برخی معیارهای عملکردی آن‌ها مطابق جدول 1 مقایسه می‌شوند.



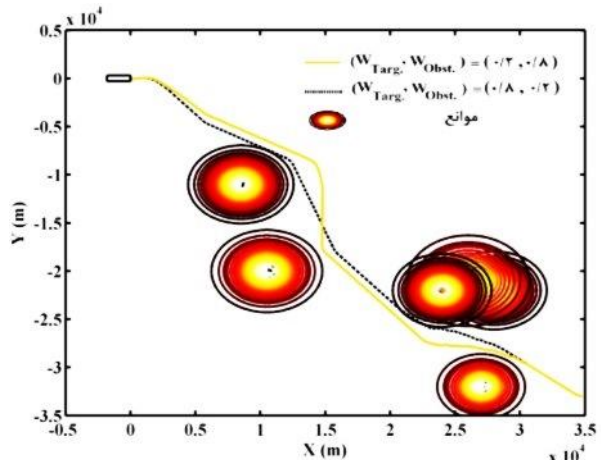
شکل 13- استخراج نقطه بهینه (حل مصالحه‌ای)



شکل 14- جبهه پرتو تابع هزینه سرعت بر حسب SVI

شکل 8 تابع هزینه نرخ تغییرات سمت با SVI و شکل 9 تابع هزینه ارتفاع بر حسب SVI را به ازای مقادیر وزن مختلف نشان می‌دهد. شکل 10 نیز تغییرات تابع هزینه مانع بر حسب SVI و شکل 11 نیز جبهه پرتو تابع هزینه مانع و هدف را نشان می‌دهد.

در شکل 12 مسیر نشست برای مقادیر مختلف تابع هزینه مانع و هدف ارائه شده است. هنگامی که وزن تابع هزینه مانع بزرگ است، مسیر تولید شده از مانع بسیار دور می‌شود. اختلاف بین دو مسیر ایجاد شده اهمیت انتخاب وزن‌ها را نشان می‌دهد. در واقع هدف از تحلیل پرتو مقایسه توابع هزینه مختلف نسبت به یکدیگر و انتخاب وزن‌های مناسب برای توابع هزینه مختلف است به گونه‌ای که بین توابع مصالحه برقرار باشد.



شکل 12- مسیر نشست با وزن‌های مانع و هدف مختلف

تحلیل مجموعه پرتو و استخراج وزن‌ها
چالش بعدی پس از استخراج مجموعه پرتو برای توابع هزینه، استخراج حل بهینه در جبهه پرتو است به گونه‌ای که بین وزن‌های مختلف توازن برقرار شود. در این مقاله برای استخراج جواب بهینه مطابق مرجع [26] از رابطه زیر که بر اساس ارتباط هندسی تعریف شده است استفاده می‌شود. این روش معمول از نرم L₂ به گونه‌ای استفاده می‌کند که جواب استخراج شده مطابق شکل 13 عبارت (20) را کمینه کند:

$$U = \left\{ \sum_{i=1}^2 \left[J_i(X) - J_i^* \right]^2 \right\}^{0.5} \quad (20)$$

می شود. برای الگوریتم WA^* دو مقدار وزنی $1/5$ و 3 استفاده شده است. مقادیر میانگین معیارهای عملکرد در سناریوهای مختلف معرفی شده در بالا، در جدول 3 ارائه شده است. همانطور که در جدول 3 نشان داده شده است، الگوریتم پیشنهادی برای تابع جواب تعداد گرههای بسیار کمتری نسبت به A^* و WA^* را توسعه می دهد.

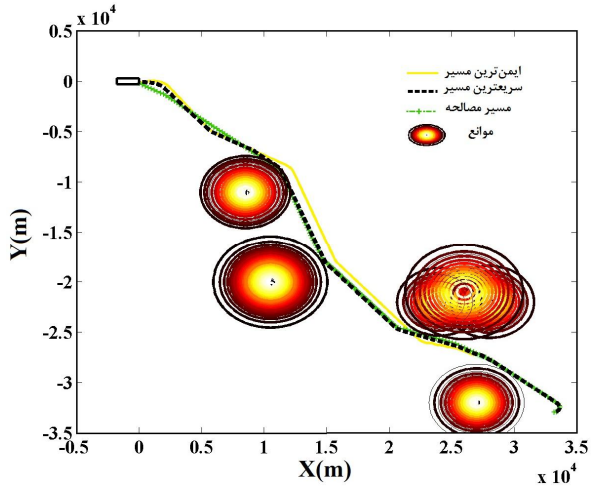
جدول 2- مقادیر وزن های توابع هزینه استخراج شده از تحلیل پرتو

وزن ها	مقدار
W_{SVI}	$0/11$
W_V	$0/13$
W_{glide}	$0/104$
W_{Loc}	$0/117$
W_{VL}	$0/112$
W_ψ	$0/1$
$W_{Terrain}$	$0/096$
W_T	$0/09$
W_{Alt}	$0/14$

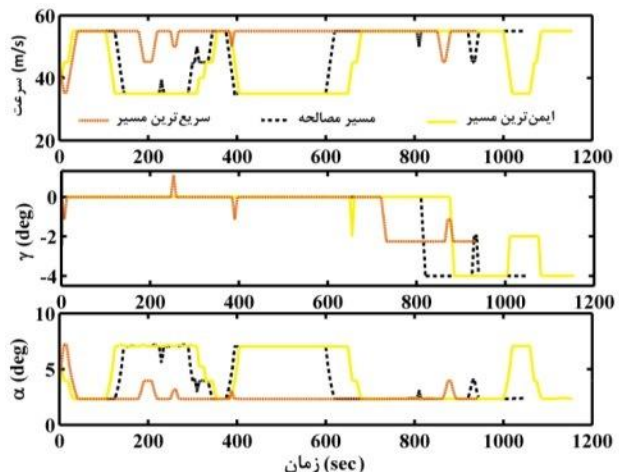
جدول 3- مقایسه معیارها در مسیرهای استخراجی از الگوریتمها

الگوریتم	زمان اجرا	گرهها	SVI	g(n)
A^*	31/7	14358	0/73	49214
$WA^*, W=1/5$	7/9	4869	0/72	49582
$WA^*, W=3$	2/6	2874	0/72	50096
الگوریتم پیشنهادی	0/12	218	0/68	50460

مقایسه زمان اجرای مورد نیاز توسط الگوریتم های مختلف در نرم افزار متلب با استفاده از یک کامپیوتر استاندارد نشان می دهد که الگوریتم پیشنهادی با توابع هزینه و وزن های استخراج شده قابلیت استفاده به نگام را دارد و قادر است جواب ها را در کمتر از یک ثانیه ارائه دهد. البته اجرای برنامه فوق در یک نرم افزار کامپایل و سطح پایین و یا استفاده از پردازنده های قوی تر می تواند زمان اجرا (بر حسب ثانیه) را تا حد قابل ملاحظه ای نسبت به مقادیر ارائه شده کاهش دهد. تعداد گرههای توسعه یافته به نحوی نشان دهنده پیچیدگی فضای الگوریتم و زمان اجرا نشان دهنده پیچیدگی زمانی الگوریتم می باشد.تابع $(n)g$ نیز طبق تعریف نشان دهنده طول مسیر طراحی شده است.



شکل 15- مسیر نشت با وزن های مانع و هدف مختلف



شکل 16- مسیر نشت با وزن های مانع و هدف مختلف

جدول 1- مقایسه معیارهای سه مسیر به ازای وزن های مختلف

وزن ها	تعداد گرهها	زمان	SVI	g(n)
$(w_v, w_{SVI}) = (0, 1)$	4861	1165	/69	
$(w_v, w_{SVI}) = (1/45, 0.55)$	4798	1042	/73	
$(w_v, w_{SVI}) = (1, 0)$	4756	948	/78	

بر اساس معادله 20 جواب بهینه بر اساس تحلیل پرتو مقایسه دو به دو توابع استخراج می شود. مقادیر نرمالیز شده مقادیر عددی وزن های توابع هزینه مختلف در جدول 2 ارائه شده است.

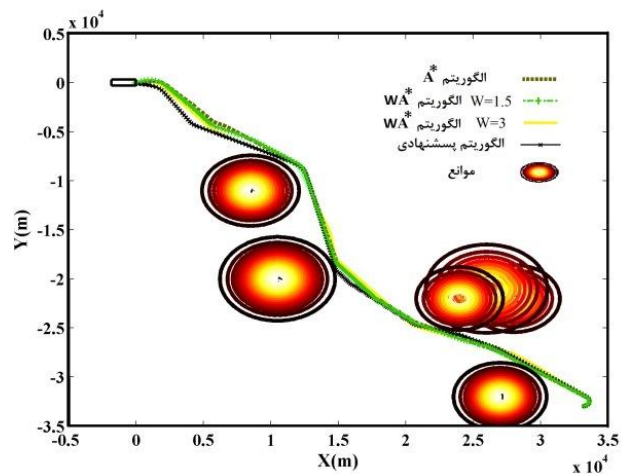
عملکرد هر الگوریتم بر اساس هزینه حل، تعداد گرههای توسعه یافته، عمق جستجو، مقدار میانگین معیار اینمنی در کل مسیر (SVI) پرواز و تعداد تغییرات زاویه سمت مشخص

مبتنی بر میدان پتانسیل برای استخراج مسیر از کتابخانه تکه مسیر بر اساس معیارهای نشت است این معروفی شد. علاوه بر این اینستی برای مسیر نشت بر مبنای سرعت نشت، زاویه سمت، زاویه رول و گلاید تعریف می‌شود. در هر گام از جستجو، تکه مسیر با کمترین هزینه انتخاب می‌شود. شکل مسیر استخراج شده تا حد زیادی به مقادیر وزنی توابع هزینه وابسته است. مقادیر وزن‌ها برای توابع هزینه مختلف پس از نرمالیزه کردن توابع هزینه، بر اساس آنالیز پرتو و مقایسه دو به دو توابع هزینه استخراج می‌شود و تابع هزینه کل به صورت جمع وزن‌دار تمام توابع هزینه تعریف می‌شود. نتایج حاصل از شبیه‌سازی نشان می‌دهد که الگوریتم پیشنهادی با وزن‌های بهینه قادر است در زمان کم مسیر اینست نشت را در حضور موانع ایجاد کند به گونه‌ای که مسیر استخراجی یک مسیر مصالحه با در نظر گرفتن کلیه توابع هزینه است. همچنین در مقایسه با الگوریتم‌های A^* (یک الگوریتم بهینه) و WA^* زمان محاسباتی بسیار کمتری نیاز دارد و عملکرد مناسبی در مقایسه با آن‌ها دارد.

فهرست علامت

ماتریس متغیرها در کتابخانه داده‌ها	D
فاصله هواپیما تا مانع (m)	d_T
هزینه مسیر از نقطه شروع تا نقطه کنونی	g
هزینه مسیر تا هدف (تابع هیوریستیک)	h
تابع هزینه	J
مانور (انتقال بین شرایط تریم)	M
موقعیت هواپیما در دستگاه زمینی	P
شرایط تریم	T
حل بهینه پرتو (حل مصالحه‌ای)	U
سرعت در دستگاه بدنی، m/s	V
وزن توابع هزینه	W
علامیونی	
زاویه سرش جانی (rad)	β
زاویه مسیر (rad)	γ
طول هر تکه مسیر (rad)	Δs
زاویه سمت (rad)	ψ
اندیس	
وضعیت مطلوب در لحظه تقرب به باند	a
مریبوط به وضعیت نشت	L
عواراض زمینی	T

بیان این نکته حائز اهمیت است که موارد بررسی و ارائه شده در این مقاله در یک فضای کوچک مورد بررسی قرار گرفته‌اند و می‌تواند در واقعیت شامل مسافت‌های بزرگتر و موانع پیچیده‌تری شود. توانایی تولید سریع یک راه حل بهنگام برای موقع اضطراری بسیار ضروری است. در واقع بهینگی در طراحی مسیر نشت این برای هواپیمای سانحه دیده شامل استخراج سریع یک مسیر اینست و امکان‌پذیر می‌شود. معیارهای عملکردی دیگر (هزینه، SVI، تغییر زاویه سمت) نشان‌دهنده هزینه کمتر (بهینگی) استخراج شده در الگوریتم A^* است. همچنین نتایج نشان می‌دهد که افزایش فاکتور وزن در الگوریتم WA^* ، الگوریتم را به سمت الگوریتم حریصانه می‌کشاند و در ازای ارائه حل‌ها با هزینه بالاتر تعداد گره‌های کمتری برای رسیدن به جواب توسعه می‌یابد. نمونه‌ای از مسیرهای اجرا شده توسط این سه الگوریتم در شکل 17 ارائه شده است.



شکل 17- مقایسه مسیرهای نشت در حضور موانع (نمای از بالا)

نتیجه‌گیری

در این مقاله یک استراتژی جستجوی بهینه محلی گستته برای تولید مسیر در حضور موانع ارائه شد که هواپیما را قادر به طرح ریزی مسیر نشت اینست می‌کند. یک پایگاه داده از تکه مسیرهای تریم و مانور با استفاده از کنترلر ایجاد شد. هر تکه مسیر دارای یک مقدار مشخص اندیس اینست است که بر اساس ویژگی‌های پایداری و خوشدستی هواپیما در داخل پاکت پروازی هواپیما استخراج شده است. یک الگوریتم جستجو

پی نوشت

- Mechanics Conference and Exhibit, No. 6203, pp. 54-66, 2008.
- [6] N. T. Nguyen, K. Krishnakumar, "Hybrid Intelligent Flight Control with Adaptive Learning Parameter Estimation", Journal of Aerospace Computing, Information and Communication, Vol. 6, No. 3, pp. 171-186, 2009.
- [7] N. Meuleau, C. Plaunt, D. E. Smith, T. Smith, A Comparison of Risk Sensitive Path Planning Methods for Aircraft Emergency Landing", ICAPS-09 Workshop on Bridging the Gap Between Task and Motion Planning, 2009.
- [8] J. T. Betts, "Survey of Numerical Methods for Trajectory Optimization", Journal of Guidance, Control, and Dynamics, Vol. 21, 1998.
- [9] S. LaValle, "Planning Algorithms", Cambridge University Press, England, U.K., Chap.5, 2006.
- [10] M. Strube, "Post-failure Trajectory Planning from Feasible Trim State Sequences", Master's Thesis, Aerospace Engineering, University of Maryland, College Park, Maryland, 2005.
- [11] E. M. Atkins, "Dynamic Waypoint Generation Given Reduced Flight Performance", 42nd AIAA Aerospace Sciences Meeting and Exhibit, Reno, NV, No. 779, 2004.
- [12] E. M. Atkins, I. A. Portillo, M. J. Strube, "Emergency Flight Planning Applied to Total Loss of Thrust", Journal of Aircraft, Vol.43, No.4, pp. 1205-1216, 2006.
- [13] Y. Tang, E. M. Atkins, R. M. Sanner, "Emergency Flight Planning for A Generalized Transport Model Aircraft with Wing Damage", AIAA Guidance, Navigation, and Control Conference, No. 6873, Hilton, Aug. 2007.
- [14] N. S. Klijn, R. Rapetti, A. Jordan, I. Lopez, P. Nespeca, "Intelligent Flight Trajectory Generation to Maximize Safe Outcome Probability after a Distress Event", Journal of Aircraft, Vol. 47, No. 1, pp. 255-267, 2010.
- [15] I. Lopez, N. S. Klijn, "Aggregating imprecise information in distressed aircraft path planning", AIAA Infotech@Aerospace, No. 3379, 20-22 April, Atlanta, Georgia, 2010.
- [16] Y. Zhao, "Efficient and robust aircraft landing trajectory optimization", Ph.D. Dissertation, Georgia Institute of Technology, 2012.
- [17] E. Frazzoli, M.A. Dahleh, E. Feron, "Real-time motion planning for agile autonomous vehicles", Journal of Guidance, Control, and Dynamics, Vol. 25, No. 1, pp. 116–129, 2002.
- [18] C. L. Bottasso, D. Leonelle, B. Savani, "Path planning for autonomous vehicle by trajectory smoothing using motion primitives", IEEE Transactions on Control Systems Technology, Vol. 16, No. 6, pp. 1152 – 1168, 2008.
- [19] M. Hwangbo, J. Kuffner, T. Kanade, "Efficient Two-phase 3D Motion Planning for Small Fixed-wing UAVs", IEEE International Conference on

- 1- Multiple Redundancy
2- Flight Management System (FMS)
3- Motion Primitives
4- Cell Decomposition
5- Visibility Graph
6- Probabilistic Road Maps
7- Dubins Curves
8- Maneuver Automation (MA)
9- Weighted-Sum Method
10 Attainable Equilibrium Sets
11- Motion Primitives
12- Safety Value Index (SVI)
13- Linear Quadratic Regulator
14- Real Time
15- Artificial Potential Field
16- Combinatorial Search
17- Complete
18- Dijkstra
19- Best First
20- Greedy
21- Weighted A*
22- Heuristic cost
23- Distance-to-go
24- Near
25- Localizer
26- Glideslope
27- Multi-Objective Optimization
28- Objective Functions
29- Cost Function
30- Value Function
31- Weighted Sum
32- Pairwise Comparison

منابع

- [1] "National Transportation Safety Board Report AAR-79-17", Washington, 2010.
- [2] D. Asadi, M. Sabzehpvar, H. A. Talebi, *Damaged airplane flight envelope and stability evaluation*, Aircraft Engineering and Aerospace Technology, Vol. 85, No. 3, pp. 186-198, 2013.
- [3] Asadi, D., Sabzehpvar, M., Atkins, E. M., and Talebi, H. A., "Damaged Airplane Trajectory Planning based on Flight Envelope and Stability of Motion Primitives", AIAA Journal of Aircraft, Vol. 51, No. 6, 2014, pp. 1740-1757. doi: 10.2514/1.C032422.
- [4] T. L. Jordan, R. M. Bailey, "NASA Langley's AirSTAR Testbed - A subscale flight test capability for flight dynamics and control system experiments", AIAA Guidance, Navigation and Control Conference and Exhibit, Honolulu, Hawaii, No. 6660, 18 - 21 August, 2008.
- [5] G. Shah, "Aerodynamic Effects and Modeling of Damage to Transport Aircraft", NASA Ames Research Centre, AIAA Atmospheric Flight

- [26] Zhang, Y., Gong, D., Zhang. J., “*Robot path planning in uncertain environment using multi-objective particle swarm optimization*”, Neurocomputing, Vol. 103, 2013, pp. 172-185.
- [27] Pires, E., J., S., Machado, J., A., T. and Oliveira, P., B., M., “*Manipulator trajectory planning Using a MOEA*”, Applied Soft Computing Journal, Vol. 7, No. 3, 2007, pp. 659-667.
- [28] S. Russell, , P. Norvig , “*Artificial Intelligence, A modern Approach*”, 3rd ed., Prentice Hall, Chapter 3, 2009.
- [29] R. Ebendt, R. Drechsler, “*Weighted A* search - unifying view and application*”, Artificial Intelligence, Vol. 173, No. 14, pp. 1310–1342, 2009.
- [30] H. A. Taboada, F. Baheranwala, D. W. Coit, “*Practical solutions for multi-objective optimization: An application to system reliability design problem*”, Reliability Engineering and System Safety, Vol. 92, pp. 314-322, 2007.
- [31] J. G. Lin, “*Multiple-objective problems: Pareto-optimal solutions by method of proper equality constraints*”, IEEE Transaction on Automatic Control, AC-21, pp. 641–651, 1976.
- [20] B. C. Neas, M. Farhood, “*A hybrid architecture for maneuver-based motion planning and control of agile vehicles*”, 18th IFAC World Congress, Milano (Italy) August 28 - September, 2011.
- [21] R. T. Marler, J. S. Arora, “*Survey of multi-objective optimization methods for engineering*”, Structural Multidisciplinary Optimization, Vol. 26, pp. 369 – 395, 2004.
- [22] A. Guigue, M. Ahmadi, R. Langlois, J. D. Hayes, “*Pareto Optimality and Multi-objective Trajectory Planning*”, IEEE Transactions on Robotics, vol. 26, no. 4, pp. 1094-1099, 2011.
- [23] Osyczka, A., “*An approach to multicriterion optimization problems for engineering design*”, Computer Methods in Applied Mechanics and Engineering, Vol. 15, No. 3, 1978, pp. 309-333.
- [24] Charnes, A. and Cooper, W., W., “*Management models and industrial applications of linear programming*,” Management Science, Vol. 4, No. 1, 1957, pp. 81-87.
- [25] Bekker, J., Aldrich, C., “*The cross-entropy method in multi-objective optimizations: An assessment*, European Journal of Operational Research”, Vol. 211, 2011, pp. 112-121.
- Robotics and Automation (ICRA), Rome, Italy, 10-14 April 2007.